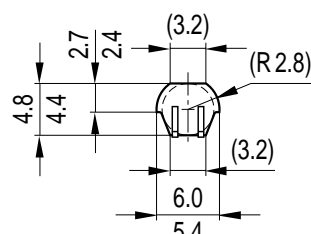
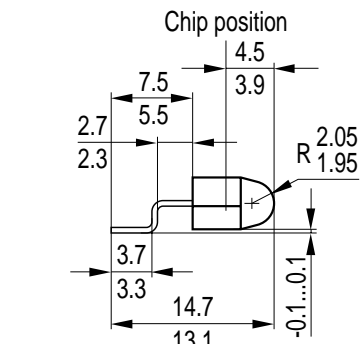


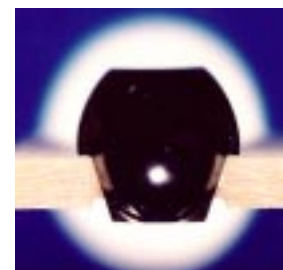
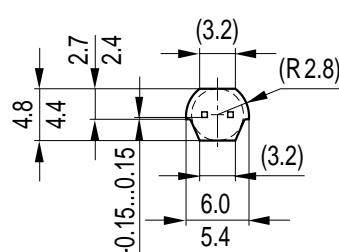
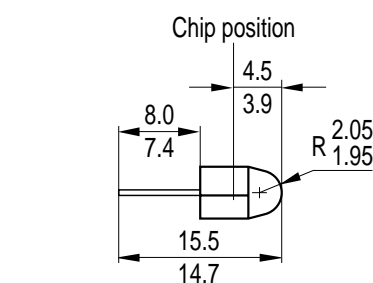
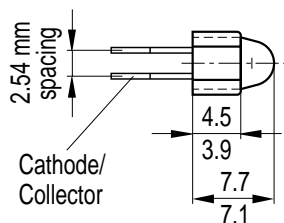
**GaAs-IR-Lumineszenzdioden (950 nm)**  
**GaAs Infrared Emitters (950 nm)**

**SFH 4510**  
**SFH 4515**



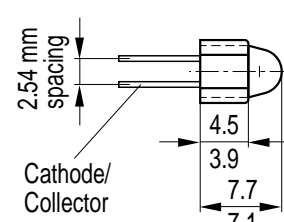
GEO06968

**SFH 4510**



GEO06969

**SFH 4515**



Maße in mm, wenn nicht anders angegeben/Dimensions in mm, unless otherwise specified.

**Wesentliche Merkmale**

- Hergestellt im Schmelzepitaxieverfahren
- Für Oberflächenmontage geeignet
- Gegurtet lieferbar
- Gehäusegleich mit Fotodiode SFH 2500/ SFH 2505 und Fototransistor SFH 3500/ SFH 3505
- Hohe Zuverlässigkeit
- Gute spektrale Anpassung an Si-Fotoempfänger

**Anwendungen**

- IR-Fernsteuerung von Fernseh- und Rundfunkgeräten, Videorecordern, Lichtdimmern
- Gerätefernsteuerungen für Gleich- und Wechsellichtbetrieb

**Features**

- Fabricated in a liquid phase epitaxy process
- Suitable for surface mounting (SMT)
- Available on tape and reel
- Same package as photodiode SFH 2500/ SFH 2505 and phototransistor SFH 3500/ SFH 3505
- High reliability
- Spectral match with silicon photodetectors

**Applications**

- IR remote control of hi-fi and TV-sets, video tape recorders, dimmers
- Remote control for steady and varying intensity

<b>Typ Type</b>	<b>Bestellnummer Ordering Code</b>	<b>Gehäuse Package</b>
SFH 4510	Q62702-P1798	5-mm-LED-Gehäuse ( $T\ 1\ \frac{3}{4}$ ), schwarzes Epoxy-Gießharz, Anschlüsse (SFH 4510 gebogen, SFH 4515 gerade) im 2.54-mm-Raster ( $\frac{1}{10}$ "), Kathodenkennzeichnung: siehe Maßzeichnung. 5 mm LED package ( $T\ 1\ \frac{3}{4}$ ), black-colored epoxy resin, solder tabs (SFH 4510 bent, SFH 4515 straight) lead spacing 2.54 mm ( $\frac{1}{10}$ "), cathode marking: see package outline.
SFH 4515	Q62702-P1821	

**Grenzwerte ( $T_A = 25^\circ\text{C}$ )****Maximum Ratings**

<b>Bezeichnung</b> <b>Description</b>	<b>Symbol</b> <b>Symbol</b>	<b>Wert</b> <b>Value</b>	<b>Einheit</b> <b>Unit</b>
Betriebs- und Lagertemperatur Operating and storage temperature range	$T_{\text{op}}; T_{\text{stg}}$	- 40 ... + 85	°C
Sperrsichttemperatur Junction temperature	$T_j$	85	°C
Sperrspannung Reverse voltage	$V_R$	5	V
Durchlaßstrom Forward current	$I_F (\text{DC})$	100	mA
Stoßstrom, $t_p = 10 \mu\text{s}, D = 0$ Surge current	$I_{\text{FSM}}$	3	A
Verlustleistung Power dissipation	$P_{\text{tot}}$	150	mW
Wärmewiderstand Sperrsicht - Umgebung bei Montage auf FR4 Platine, Padgröße je 20 mm <sup>2</sup> Thermal resistance junction - ambient mounted on PC-board (FR4), pads size 20 mm <sup>2</sup> each	$R_{\text{thJA}}$	300	K/W

**Kennwerte ( $T_A = 25^\circ\text{C}$ )****Characteristics**

<b>Bezeichnung</b> <b>Description</b>	<b>Symbol</b> <b>Symbol</b>	<b>Wert</b> <b>Value</b>	<b>Einheit</b> <b>Unit</b>
Wellenlänge der Strahlung Wavelength at peak emission $I_F = 100 \text{ mA}$	$\lambda_{\text{peak}}$	950	nm
Spektrale Bandbreite bei 50 % von $I_{\text{max}}$ Spectral bandwidth at 50 % of $I_{\text{max}}$ $I_F = 100 \text{ mA}$	$\Delta\lambda$	55	nm
Abstrahlwinkel Half angle	$\phi$	$\pm 14$	Grad deg.
Aktive Chipfläche Active chip area	$A$	0.09	$\text{mm}^2$
Abmessungen der aktive Chipfläche Dimension of the active chip area	$L \times B$ $L \times W$	$0.3 \times 0.3$	mm
Schaltzeiten, $I_e$ von 10 % auf 90 % und von 90 % auf 10 %, bei $I_F = 100 \text{ mA}$ , $R_L = 50 \Omega$ Switching times, $I_e$ from 10 % to 90 % and from 90 % to 10 %, $I_F = 100 \text{ mA}$ , $R_L = 50 \Omega$	$t_r, t_f$	0.5	$\mu\text{s}$
Kapazität Capacitance $V_R = 0 \text{ V}, f = 1 \text{ MHz}$	$C_o$	25	pF
Durchlaßspannung Forward voltage $I_F = 100 \text{ mA}, t_p = 20 \text{ ms}$ $I_F = 1 \text{ A}, t_p = 100 \mu\text{s}$	$V_F$ $V_F$	1.30 ( $\leq 1.5$ ) 2.30 ( $\leq 2.8$ )	V V
Sperrstrom Reverse current $V_R = 5 \text{ V}$	$I_R$	0.01 ( $\leq 1$ )	$\mu\text{A}$
Gesamtstrahlungsfluß Total radiant flux $I_F = 100 \text{ mA}, t_p = 20 \text{ ms}$	$\Phi_e$	22	mW

Kennwerte ( $T_A = 25^\circ\text{C}$ )

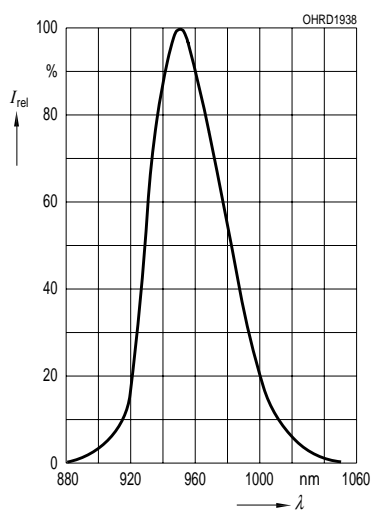
Characteristics

Bezeichnung Description	Symbol Symbol	Wert Value	Einheit Unit
Temperaturkoeffizient von $I_e$ bzw. $\Phi_e$ , $I_F = 100 \text{ mA}$ Temperature coefficient of $I_e$ or $\Phi_e$ , $I_F = 100 \text{ mA}$	$TC_I$	-0.5	%/K
Temperaturkoeffizient von $V_F$ , $I_F = 100 \text{ mA}$ Temperature coefficient of $V_F$ , $I_F = 100 \text{ mA}$	$TC_V$	-2	mV/K
Temperaturkoeffizient von $\lambda$ , $I_F = 100 \text{ mA}$ Temperature coefficient of $\lambda$ , $I_F = 100 \text{ mA}$	$TC_\lambda$	0.3	nm/K

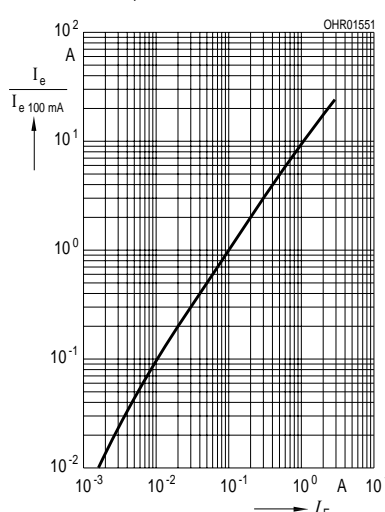
**Strahlstärke  $I_e$  in Achsrichtung**gemessen bei einem Raumwinkel  $\Omega = 0.001 \text{ sr}$ **Grouping of radiant intensity  $I_e$  in axial direction**at a solid angle of  $\Omega = 0.001 \text{ sr}$ 

Bezeichnung Description	Symbol Symbol	Wert Value	Einheit Unit
Strahlstärke Radiant intensity $I_F = 100 \text{ mA}, t_p = 20 \text{ ms}$	$I_{e \text{ typ}}$ $I_{e \text{ min}}$	50 $\geq 25$	mW/sr mW/sr
Strahlstärke Radiant intensity $I_F = 1 \text{ A}, t_p = 100 \mu\text{s}$	$I_{e \text{ typ}}$	450	mW/sr

**Relative spectral emission**  
 $I_{\text{rel}} = f(\lambda)$



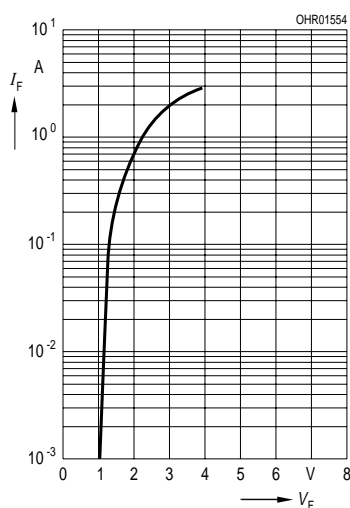
**Radiant intensity**  $\frac{I_e}{I_e \text{ 100 mA}} = f(I_F)$   
Single pulse,  $t_p = 20 \mu\text{s}$



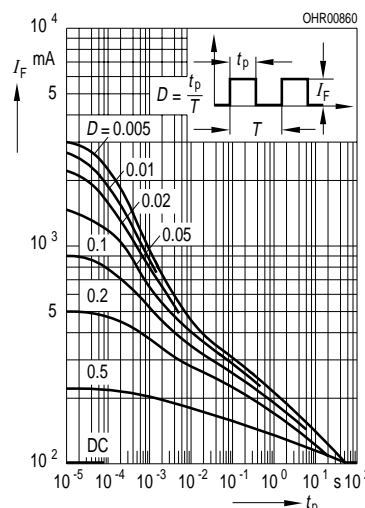
**Max. permissible forward current**  
 $I_F = f(T_A)$



**Forward current**  
 $I_F = f(V_F)$ , single pulse,  $t_p = 20 \mu\text{s}$



**Permissible pulse handling capability**  
 $I_F = f(\tau)$ ,  $T_A = 25^\circ\text{C}$ ,  
duty cycle  $D = \text{parameter}$



**Radiation characteristics**  $I_{\text{rel}} = f(\varphi)$

